

大阪工業大学 工学部 正会員 栗田 章光*

大阪工業大学 大学院 学生員○山田 真寛*

川田工業(株) 正会員 渡辺 混**

1.はじめに

平成6年2月に道路橋示方書での設計活荷重がTL-25へ改正された¹⁾ことにより、TL-20等の旧設計活荷重で設計された橋梁に対しては、何らかの補強が必要となってきた。そこで著者らは、プレビーム合成桁を対象にした外ケーブルによる補強工法を考案した。本研究では外ケーブルにより補強されたプレビーム合成桁の経時挙動解析を行い、コンクリートのクリープおよび乾燥収縮による外ケーブルの張力損失などについての検討を行った。本文では、その解析結果を報告する。

2.経時挙動の解析法

経時挙動解析には、合成桁に作用する断面力を床版コンクリート、下フランジコンクリート、および鋼桁に分けて取り扱う分担断面力法を用いた。解析の手順としては、まず、クリープを生じさせる持続外力となるリリース力、プレビーム自重（時刻 $t=t_1$ ）、後死荷重（時刻 $t=t_2$ ）、および外ケーブルによる導入力（時刻 $t=t_3$ ）を設定し、それぞれの段階において生じる分担断面力を求め、次に、これらを回復クリープを考慮したコンクリートの応力-ひずみ関係式²⁾に代入し、変化応力度および曲率変化量を求める。そして最後に、曲率変化量と弾性方程式を用いて、外ケーブル緊張力の変化量ならびに桁各部の変化応力度を算出する。

一例として、図-1のようなケーブル配置の場合のクリープによるケーブル張力変化量の算定法を示す。

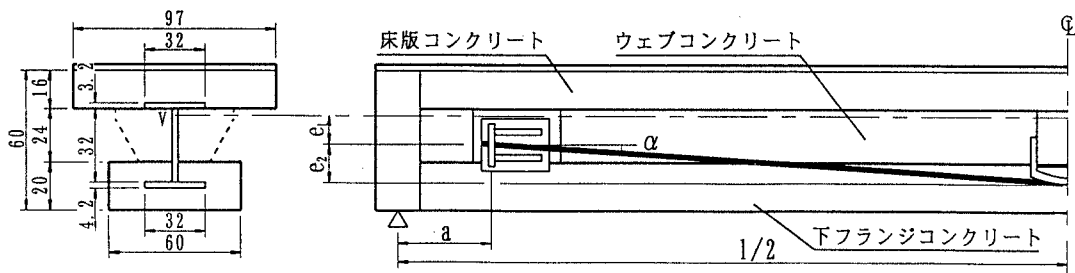


図-1 断面形状と外ケーブル配置モデル

ひずみおよび曲率の適合条件式により、外ケーブル補強後のクリープによる鋼桁図心のひずみおよび曲率の変化量は次式で表される。

$$\Delta \varepsilon_{s,t-t_3}^{0M} = \frac{\Delta N_{s,t-t_3}^{0M}}{E_s A_s} \quad (\text{ひずみ変化量}) , \quad \Delta \theta_{s,t-t_3}^{0M} = \frac{\Delta M_{s,t-t_3}^{0M}}{E_s I_s} \quad (\text{曲率変化量}) \quad (1)$$

ケーブル定着部にケーブル方向に単位力を作用させた場合のケーブル方向の作用線方向変位 δ_{ii} は

$$\delta_{ii} = (l - 2a) \left\{ \frac{\cos^2 \alpha}{3E_s I_{r_2}} (3e_1^2 + 3e_1 e_2 + e_2^2) + \frac{\cos^2 \alpha}{E_s A_{r_2}} + \frac{1}{E_p A_p \cos \alpha} \right\} \quad (2)$$

key words : 外ケーブル・クリープ・乾燥収縮・分担断面力

*〒531 大阪市旭区大宮5-16-1 TEL 06-952-3131 FAX 06-957-2131

**〒114 東京都北区滝野川1-3-1 TEL 03-3915-3301 FAX 03-3915-3771

鋼桁に着目した場合のケーブル定着位置でのクリープによる変位成分 δ_{u} は

$$\delta_{\text{u}} = -\frac{\Delta \theta_{s,i-i_3}^{0M}}{4E_s I_s} (l-2a) \{ 4e_i \cos \alpha + (l-2a) \sin \alpha \} + \frac{\cos \alpha \Delta \varepsilon_{s,i-i_3}^{0M}}{E_s A_s} (l-2a) \quad (3)$$

式(2)、(3)により弾性方程式 $\Delta P_e^{\sigma\text{exp}} \delta_{11} + \delta_{\text{u}} = 0$ を解けば、クリープによる外ケーブル緊張力の変化量 $\Delta P_e^{\sigma\text{exp}}$

$$\Delta P_e^{\sigma\text{exp}} = -\frac{\delta_{\text{u}}}{\delta_{11}} \quad (4)$$

が得られる。

3. 解析条件

断面形状および外ケーブル配置には図-1 のものを用い、表-1 の計算条件で解析を行った。外ケーブルの導入プレストレスは 40tf (片側 20tf の 2 本) とし、解析結果図中の case1、2、3 とはプレビーム合成桁としての供用期間をそれぞれ 3 年、5 年、10 年とし、その後外ケーブル補強を行ったことを意味している。

4. 解析結果

表-2 はスパン中央部下フランジコンクリート下縁の応力計算結果である。プレビーム合成桁完成時における残存応力は 59.7kgf/cm² であるが、応力度の損失は道路橋供用期間中に大きく表れ、ケーブル補強後の損失は微小なものであることがわかった。図-2 はクリープおよび乾燥収縮による外ケーブル緊張力の損失量を示したものである。クリープおよび乾燥収縮による張力の損失は、補強時期が早いほど大きくなるという結果が得られたが、その量は case1 (供用期間 3 年)においてもプレストレス導入張力 40tf に対して 224kgf(0.56%)と微小であることがわかった。

表-2 下フランジコンクリート下縁の応力

	完成時	補強前	補強後	最終値
case1	59.7	6.7	33.2	24.4
case2	59.7	3.9	30.4	25.1
case3	59.7	1.4	27.9	25.6

単位(kgf/cm²)

4.まとめ

外ケーブル補強後の下フランジコンクリートのクリープおよび乾燥収縮による応力度の損失は非常に小さく、補強により導入された応力(26.5kgf/cm²)は有効に作用していると思われる。したがって、最も重要な問題といえるケーブル張力の損失量は僅かな量である。したがって、プレビーム合成桁の補強工法として、外ケーブルによる方法は、非常に有効なものであると言える。

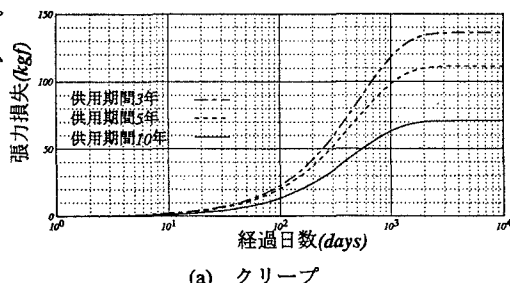
(参考文献)

1)日本道路協会：道路橋示方書・同解説Ⅰ共通編、平成6年2月

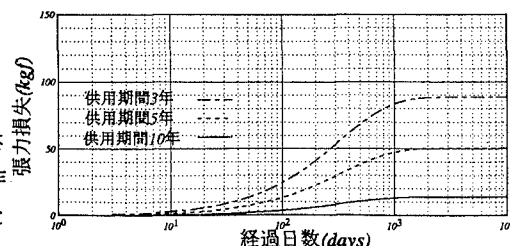
2)栗田章光：回復クリープの影響を考慮した鋼・コンクリート合成桁橋の経時挙動に関する研究、1994年9月

表-1 数値計算条件

材料特性	
鋼桁	$E_s = 2.1 \times 10^6 \text{ kgf/cm}^2$
下フランジ	$E_c = 3.75 \times 10^6 \text{ kgf/cm}^2$
床版	$E_b = 2.33 \times 10^6 \text{ kgf/cm}^2$
外ケーブル	
偏向角度	$\alpha = 1.45^\circ$
偏心距離	$e_1 = 1.06 \text{ cm}$ $e_2 = 17.75 \text{ cm}$
弹性係数	$E_p = 1.91 \times 10^6 \text{ kgf/cm}^2$
断面積	$A_p = 2.771 \text{ cm}^2/\text{本}$
クリープ係数	
下フランジ	$\phi_c = 2.61$
床版	$\phi_b = 2.38$
乾燥収縮	
下フランジ	$\varepsilon_{co} = 195 \times 10^{-6}$
床版	$\varepsilon_{bo} = 220 \times 10^{-6}$



(a) クリープ



(b) 乾燥収縮

図-2 ケーブル張力の損失量